УДК 547.947.733

СИНТЕЗ И СВОЙСТВА МЕТАЛЛОКОМПЛЕКСОВ С ГАЛОГЕНЗАМЕЩЕННЫМИ ОКТАФЕНИЛТЕТРААЗАПОРФИРИНАМИ

© 2023 г. Н. В. Чижова^{1,*}, А. Е. Лихонина¹, Н. Ж. Мамардашвили¹

¹ Институт химии растворов имени Г. А. Крестова Российской академии наук, ул. Академическая 1, Иваново, 153040 Россия *e-mail: nvc@isc-ras.ru

Поступило в редакцию 7 апреля 2023 г. После доработки 10 мая 2023 г. Принято к печати 21 мая 2023 г.

При взаимодействии ди-(4-галогенфенил)малеиндинитрилов с ацетатами магния и цинка(II) в кипящем этиленгликоле синтезированы Mg(II)-окта-(4-хлорфенил)тетраазапорфирин, Mg(II)-окта-(4-фторфенил)тетраазапорфирин, Zn(II)-окта-(4-хлорфенил)тетраазапорфирин и Zn(II)-окта-(4-фторфенил)тетраазапорфирин. Zn(II)-Октафенилтетраазапорфирин получен при цикломеризации дифенилмалеиндинитрила с ацетатом цинка в этиленгликоле. С использованием реакции металлообмена галогензамещенных комплексов магния с хлоридами меди(II) и марганца(II) в диметилформамиде синтезированы соответствующие Cu(II) и Mn(III)-октафенилтетраазапорфирины. Полученные соединения идентифицированы методами электронной абсорбционной, ИК, ЯМР ¹Н спектроскопии и масс-спектрометрии. Исследована фотохимическая устойчивость синтезированных комплексов.

Ключевые слова: комплексы с окта-(4-галогенфенил)тетраазапорфиринами, реакции цикломеризации, реакции металлообмена, фотохимическая устойчивость

DOI: 10.31857/S0044460X2306015X, EDN: FNIDOY

Известно, что порфирины и их аза-аналоги проявляют свои полезные свойства в составе комплексов с металлами. Многообразие структур металлопорфиринов открывает широкие возможности для их применения в различных областях науки и техники [1-5]. В частности, интерес к синтезу и исследова.нию комплексов порфиринов с медью вызван возможностью их применения в биомедицине и катализе. Широко известны пигменты и красители на основе фта.лоцианинов и порфиринов меди [6]. Порфириновые комплексы марганца характеризуются низким окислительно-восстановительным потенциалом $E(Mn^{2+}/Mn^{3+})$ центрального иона и являются эффективными биокатализаторами [7, 8]. У Мп-порфиринов обнаружена способность связывать свободные радикалы. Возрастает интерес исследователей к созданию биологически активных препаратов на основе комплексов мар-ганца [9].

Для синтеза металлокомплексов на основе тетраазапорфиринов обычно используют метод темплатной циклотетрамеризации [10]. Позднее этим методом были синтезированы ионные и ковалентные комплексы тетраазапорфиринов различного строения [11–15]. В работе [16] *орто*-дифторзамещенные Mg(II) и Zn(II)-порфиразины получены при циклизации ди-(2,6-дифторфенил)малеиндинитрила с соответствующими солями в кипящем этиленгликоле. Для синтеза металлопорфиринов, в том числе и труднодоступных, широко применяют метод переметаллирования (металлообмена) лабильных комплексов порфиринов [17]. Ранее с использованием реакции металлообмена был получен ряд комплексов Cu(II) и Mn(III) с порфи-

Схема 1.

$$\begin{array}{c} R \\ CN \\ CN \\ CN \end{array}$$

$$\begin{array}{c} M(OAc)_2 \\ C_2H_6O_2 \end{array}$$

$$\begin{array}{c} N \\ N \\ N \end{array}$$

$$\begin{array}{c} N \\ N \\ R \end{array}$$

$$\begin{array}{c} N \\ R \end{array}$$

$$\begin{array}{c} 1-5 \end{array}$$

M = Mg(II), R = Cl(1); M = Mg(II), R = F(2); M = Zn(II), R = Cl(3); M = Zn(II), R = F(4); M = Zn(II), R = H(5).

ринами и их аза-аналогами [Шейнин В.Б. и др., ЖОХ. 2010. Т. 80. Вып. 2. С. 326; Sheinin V.B. et al., Russ. J. Gen. Chem. 2010. Vol. 80. N 2. P. 351. doi 10.1134/S107036321002026X; Звездина С.В. и др., ЖОХ. 2014. Т. 84. Вып. 10. С. 1712; Zvezdina S.V. et al., Russ. J. Chen. Chem. 2014. Vol. 84. N 10. P. 1989. doi 10.1134/S1070363214100211].

В продолжение исследований [14–16] в настоящей работе при циклизации ди-(4-галогенфенил)-малеиндинитрилов с ацетатами магния и цинка(II) в кипящем этиленгликоле синтезированы Mg(II)-окта-(4-хлорфенил)тетраазапорфирин 1, Mg(II)-окта-(4-фторфенил)тетраазапорфирин 2, Zn(II)-окта-(4-хлорфенил)тетраазапорфирин 3 и Zn(II)-окта-(4-фторфенил)тетраазапорфирин 4. Zn(II)-Октафенилтетраазапорфирин 5 получен при взаимодействии дифенилмалеиндинитрила с ацетатом цинка в этиленгликоле (схема 1).

Показано, что при взаимодействии хлорзамещенного дифенилмалеиндинитрила с ацетатом магния (мольное соотношение 1:1.4) в кипящем этиленгликоле в течение 30 мин образуется Mg(II)-окта-(4-хлорфенил)тетраазапорфирин 1. В сравнимых условиях при кипячении ди-(4-фтор-

фенил)малеиндинитрила с $Mg(OAc_{)2}$ в этиленгликоле в течение 25 мин образуется Mg(II)-окта-(4-фторфенил)тетраазапорфирин **2**. В масс-спектрах комплексов магния с галогензамещенными порфиразинами зафиксированы сигналы с m/z 1223.26 и 1090.19, соответствующие молекулярным ионам полученных соединений (см. Дополнительные материалы). В спектре ЯМР ¹Н комплекса **1** в ДМ-СО- d_6 присутствуют сигналы *орто*- и *мета*-протонов фенильных колец при 7.95 и 7.39 м. д. Сигналы фенильных колец соединения **2** регистрируются при 7.96 и 7.49 м. д.

В ИК спектрах галогензамещенных комплексов магния валентные и деформационные колебания хлорзамещенного комплекса магния ${\bf 1}$ смещены в область низких частот на $\sim 3-4$ см $^{-1}$ по сравнению с фторзамещенным комплексом ${\bf 2}$. Напротив, скелетные колебания соединения ${\bf 1}$ более интенсивны и смещены в область высоких частот на ~ 30 см $^{-1}$ по сравнению с комплексом ${\bf 2}$ (см. Дополнительные материалы).

При взаимодействии хлорзамещенного дифенилмалеиндинитрила с ацетатом цинка (мольное соотношение 1:1) в кипящем этиленгликоле в тече-

ЖУРНАЛ ОБЩЕЙ ХИМИИ том 93 № 6 2023

Схема 2.

M = Cu(II), R = Cl(6); M = Cu(II), R = F(7); M = Mn(III), R = Cl(8); M = Mn(III), R = F(9).

ние 10 мин образуется Zn(II)-окта-(4-хлорфенил)-тетраазапорфирин 3. В масс-спектре Zn(II)-окта-(4-хлорфенил)тетраазапорфирина присутствует сигнал с m/z 1263.5, соответствующий молекулярному иону комплекса 3 (см. Дополнительные материалы). В спектре ЯМР 1 Н комплекса 3 в ДМСО- d_6 зафиксированы уширенные сигналы opmo- и mema-протонов при 8.10 и 7.35 м. д.

В сравнимых условиях кипячение ди-(4-фторфенил)малеиндинитрила с ацетатом цинка в этиленгликоле в течение 5 мин приводит к образованию Zn(II)-окта-(4-фторфенил)тетразапорфирина 4. В масс-спектре Zn(II)-окта-(4-фторфенил)тетразапорфирина присутствует сигнал с m/z 1130.18, соответствующий молекулярному иону комплекса 4 (см. Дополнительные материалы). В спектре ЯМР 1 Н комплекса 4 в ДМСО- d_6 присутствуют уширенные сигналы opmo- и mema-протонов фенильных колец при 8.19 и 7.50 м. д.

Аналогично, при взаимодействии дифенилмалеиндинитрила с ацетатом цинка в кипящем этиленгликоле получен Zn(II)-октафенилтетраазапорфирин 5. В масс-спектре Zn(II)-октафенилтетраазапорфирина зафиксирован сигнал *m/z* 988.1, соответствующий молекулярному иону комплекса **5** (см. Дополнительные материалы). В спектре ЯМР ¹Н соединения **5** присутствуют уширенный синглет *орто*-протонов (8.24 м. д.) и мультиплет *мета*- и *пара*-протонов (7.64–7.54 м. д., см. Дополнительные материалы).

Для синтеза комплексов Cu(II) и Mn(III) с галогензамещенными октафенилтетраазапорфиринами мы использовали метод переметаллирования лабильных комплексов порфиринов [12]. С использованием реакции металлообмена галогензамещенных комплексов магния с хлоридами меди(II) и марганца(II) в диметилформамиде синтезированы соответствующие Cu(II) и Mn(III)-октафенилтетраазапорфирины 6–8 (схема 2).

Си(II)-окта-(4-хлорфенил)тетраазапорфирин 6 и Си(II)-окта-(4-фторфенил)тетраазапорфирин 7 легко образуются при нагревании до 80°С комплексов магния 1, 2 с CuCl₂ (мольное соотношение 1:10) в ДМФА и последующем выдерживании реакционной смеси при этой температуре в течение 60 и 30 мин соответственно. В масс-спектрах ком-

Соединение	λ , нм ($\lg \epsilon$)			
	полоса I	полоса II	полоса Соре	
1	641 (5.01)	588 (4.33)	380 (4.93)	
2	637 (5.01)	585 (4.36)	376 (4.96)	
3	640 (5.05)	586 (4.34)	377 (4.92)	
4	635 (5.04)	583 (4.37)	375 (4.93)	
5	637 (5.11)	580 (4.36)	375 (5.05)	
6	630 (4.81)	578 (4.25)	364 (4.75)	
7	628 (4.81)	575 (4.26)	361 (4.73)	

Таблица 1. Характеристики электронных спектров поглощения комплексов Mg(II), Zn(II) и Cu(II) с октафенилтетраазапорфиринами в хлороформе

плексов меди с окта-(4-хлорфенил)тетраазапорфирином и окта-(4-фторфенил)тетраазапорфирином присутствуют сигналы с m/z 1260.8 и 1129.3, соответствующие молекулярным ионам полученных соединений (см. Дополнительные материалы).

В табл. 1 приведены ЭСП синтезированных комплексов **6**, **7** в хлороформе. Азазамещение приводит к гипсохромному сдвигу полосы Соре в область 375–350 нм. (пиррольные кольца, с которыми связано происхождение полосы Соре, испытывают сильное электронное возмущение со стороны мостиковых атомов азота). Гипсохромное смещение полос поглощения Cu(II)-октафенилтетраазапорфиринов по сравнению с соответствующими комплексами цинка и магния объясняется

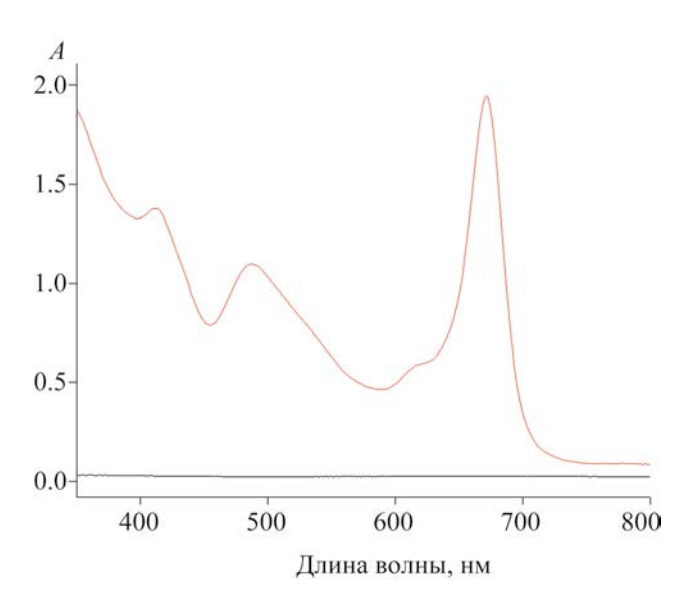


Рис. 1. ЭСП Mn(III)-порфиразина 8 в хлороформе.

наличием сильного π -дативного взаимодействия между ионом металла и порфириновым макроциклом $d\pi$ - $e_g(\pi^*)$ типа (табл. 1).

Известно, что комплексообразование порфиринов и металлообмен лабильных порфиринатов с MnX_2 ($X = Cl^-$, CH_3COO^-) [18, 19] сопровождается мгновенным окислением Mn(II) в составе комплекса до Mn(III). При этом образуются соединения состава (X)Mn(III)P (P — дианион порфирина, X — ацидолиганд). Остановить процесс на стадии образования Mn(II)-порфирина, как правило, не удается. Исключение составляют соединения с большим количеством электроноакцепторных атомов хлора в макроцикле и фенильных кольцах [19].

Исследования показали, что Mn(III)-окта-(4-хлорфенил)тетразапорфирин 8 образуется при кипячении диметилформамидного раствора комплекса магния 1 с MnCl₂ (мольное соотношение 1:20) в течение 1 мин. В сравнимых условиях с 8, Mn(III)-окта-(4-фторфенил)тетразапорфирин 9 получен при нагревании раствора комплекса магния 1 с MnCl₂ в ДМФА до температуры кипения.

В масс-спектрах комплексов **8** и **9** зарегистрированы сигналы с m/z 1250.2, 1119.1, соответствующие молекулярным ионам, полученным в результате диссоциации по связи Mn–Cl (см. Дополнительные материалы). В электронном спектре поглощения соединения **8** в хлороформе присутствуют полосы с максимумами 671, 616, 487, 413 и 351 нм (рис. 1). Полосы поглощения фторзамещенного комплекса марганца **9** в хлороформе аналогичны и смещены в коротковолновую область на ~3–4 нм.

Таблица 2. Экспериментальные данные по фотохимической стабильности^а соединений 1-9 в СНСІ₃ и смеси $CHCl_3-H_2O_2$ (0.384 моль/л)

Соединение	η ₅₀ , %		$k_{\rm дестр}, \ $ мин $^{-1}$	τ _{1/2} , мин
	CHCl ₃		CHCl ₃ –H ₂ O ₂	
$\overline{\mathrm{Mg(II)}(p\text{-}\mathrm{Cl}\text{-}\mathrm{Ph})_{8}\mathrm{TAP}\left(1\right)}$	0	0	_	_
$Mg(II)(p-F-Ph)_8TAP(2)$	0	0	_	_
$Zn(II)(p-Cl-Ph)_8TAP(3)$	0	0	_	_
$Zn(II)(p-F-Ph)_8TAP(4)$	0	0	_	_
$Zn(II)Ph_8TAP(5)$	0	0	_	_
$Cu(II)(p-Cl-Ph)_8TAP$ (6)	0	0	_	_
$Cu(II)(p-F-Ph)_8TAP$ (7)	0	0	_	_
$Mn(III)(p-Cl-Ph)_8TAP$ (8)	0	39	0.0063	110
		33 ⁶	0.0055^{6}	126 ⁶
$Mn(III)(p-F-Ph)_8TAP(9)$	0	47	0.0081	86
		26 ⁶	0.0049 ^б	141 ⁶

Отличительной особенностью (X)Mn(III)-порфиринов является наличие сильного взаимодействия атома металла с порфириновым лигандом за счет N \to Mn $p(\pi)$ - $d(\pi)$ -взаимодействия, совпадающего по направлению с σ-связью. Введение ацидолигандов во внутреннюю координационную сфе-

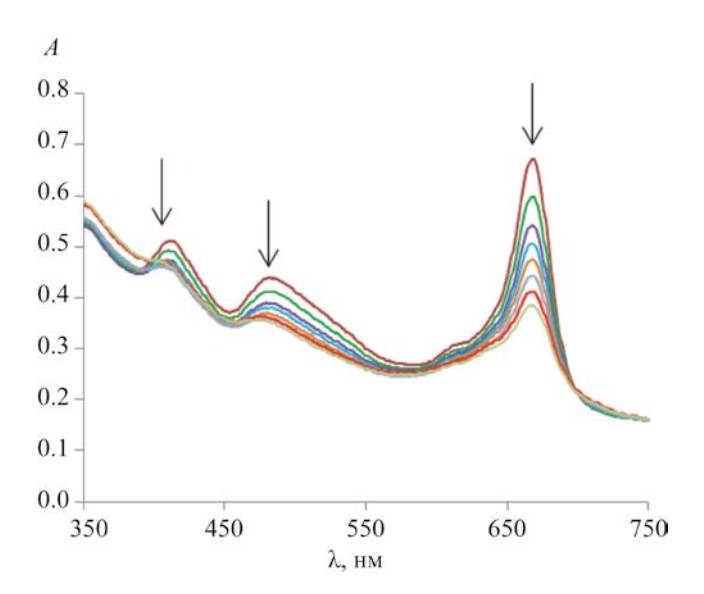


Рис. 2. Изменение ЭСП $Mn(III)(p-F-Ph)_8$ ТАР **9** в среде СНС1₂-H₂O₂ при облучении светом с λ 640 нм.

ру тетрафенилпорфиринатов Mn(III) существенно изменяет геометрию молекул, что приводит к возникновению дополнительной полосы (λ_{max} ~ 485 нм) и увеличению числа полос по сравнению с комплексами магния, цинка и меди (табл. 1).

Все изученные соединения 1-9 в среде хлороформа оказались устойчивыми к действию излучения с длиной волны 640 нм (табл. 2). Добавление перекиси водорода к комплексам Mg(II) (соединения 1 и 2), Zn(II) (3-5) и Cu(II) (6 и 7) также не приводит к окислительной деструкции как без облучения, так и с его воздействием. В ЭСП комплексов Mn(III) (соединения 8 и 9) наблюдается снижение оптических плотностей полос поглощения в среде CHCl₃-H₂O₂, при этом, хлорзамещенный комплекс Mn(III) проявляет большую устойчивость к окислению по сравнению с фторзамещенным комплексом 9 (табл. 2). Также, следует отметить, что тип спектра Mn(III)-тетраазапорфиринов не меняется, что, по-видимому, свидетельствует об окислительной деструкции макроцикла, а не об окислении катиона металла. Снижение стабильности Mn(III)-порфиразинов вызвано наличием у них менее плоской структуры, по сравнению с изученными нами комплексами Mg(II), Zn(II) и Cu(II).

Воздействие светом с λ 640 нм на растворы соединений 8 и 9 в среде СНСІ3-Н2О2 ускоряет процесс окислительной деструкции; для $Mn(III)(p-Cl-Ph)_8$ TAP 8 степень деструкции (η) увеличивается с 33 до 39%, а для Mn(III)(p-F-Ph)₈TAP 9 - с 26-47% (рис. 2, табл. 2). Рассчитанные константы ($k_{\text{лестр}}$) и периоды полураспада ($\tau_{1/2}$) процессов окислительной деструкции для комплексов 8 и 9 также представлены в табл. 2.

Таким образом, взаимодействием ди-(4-галогенфенил)малеиндинитрилов с ацетатами магния и цинка(II) в кипящем этиленгликоле синтезированы комплексы Mg(II), Zn(II) с окта-(4-хлорфенил)тетраазапорфирином и окта-(4-фторфенил)тетраазапорфирином. Аналогично получен Zn(II)октафенилтетраазапорфирин при цикломеризации дифенилмалеиндинитрила с ацетатом цинка в этиленгликоле. Хлор- и фторзамещенные Cu(II)и Mn(III)-октафенилтетраазапорфирины синтезированы из соответствующих комплексов магния с хлоридами меди(II) и марганца(II) в диметилформамиде. Изучена фотохимическая устойчивость

 $^{^{}a}$ $au_{\text{обл}}$ 50 мин, $\lambda_{\text{обл}}$ 640 нм, E_{v} 1790±30 Лк. 6 Деструкция при добавлении H_{2}O_{2} без облучения.

синтезированных металлокомплексов. Установлено, что Mn(III)-октафенилтетраазапорфирины в среде $CHCl_3-H_2O_2$ подвергаются окислительной деструкции как под воздействием излучения (λ 640 нм), так и без него. Следует отметить, что под действием излучения процесс окисления усиливается. В среде хлороформа все изученные соединения проявили высокую устойчивость к фотоокислению.

ЭКСПЕРИМЕНТАЛЬНАЯ ЧАСТЬ

Хлорацетонитрил, фторацетонитрил (Acros), оксид алюминия силикагель (Merck), растворители (XЧ), ацетаты магния и цинка, хлориды меди и марганца (Acros) использовали без дополнительной обработки. Ди-(4-хлорфенил)малеиндинитрил и ди-(4-фторфенил)малеиндинитрил синтезировали по методикам, приведенным в работах [14, 15].

Электронные спектры поглощения записывали на спектрофотометре Cary-100 (Varian) при комнатной температуре. ИК спектры регистрировали на Фурье-спектрометре VERTEX 80 v. Масс-спектры получали на масс-спектрометре Maldi Tof Shimadzu Biotech Axima Confidence (матрица – дигидроксибензойная кислота). Спектры ЯМР ¹Н (500.17 Гц) записывали на приборе Bruker AV III-500 внутренний стандарт – ТМС).

Изучение процесса фотоокисления осуществляли путем облучения разбавленных растворов комплексов **1–9** ($c \approx 10^{-5}$ моль/л) в течение 50 мин с использованием светодиодной лампы (λ 640 нм, E_{ν} 1790±30 Лк). Процесс фотоокисления был изучен в среде CHCl₃ и CHCl₃- H_2O_2 (0.384 моль/л). Изменения в электронных абсорбционных спектрах фиксировали через определенные промежутки времени. Степень фотодеструкции (η, %) рассчитывали по убыли оптической плотности первой полосы поглощения в ЭСП. Константу процесса деструкции $(k_{\text{дестр}})$ рассчитывали графическим методом по зависимости натурального логарифма концентрации комплекса от времени $[f(c) = \ln c]$. Период полураспада рассчитывали по формуле: $\tau_{1/2} = \ln 2/k_{\text{necrp}}$.

Ди-(4-хлорфенил)малеиндинитрил. Спектр ЯМР 1 Н (CDCl₃), δ , м. д.: 7.58 д (4H, H^м, J 7.6 Гц), 7.76 д (4H, H^o, J 7.7 Гц). Масс-спектр, m/z ($I_{\text{отн}}$, %): 299.7 (88) [M] $^{+}$ (вычислено для $C_{16}H_{8}Cl_{2}N_{2}$: 299.4).

Ди-(4-фторфенил)малеиндинитрил. Спектр ЯМР 1 Н (CDCl₃), δ , м. д.: 7.26 д (4H, $^{\text{M}}$ J 7.6 $^{\text{C}}$ ц), 7.85 д (4H, $^{\text{H}}$ J 7.7 $^{\text{C}}$ ц). Масс-спектр, m/z ($I_{\text{отн}}$, %): 267.2 (98) $[M + \text{H}]^{+}$ (вычислено для $C_{16}H_{8}F_{2}N_{2}$: 266.3).

Mg(II)-Окта-(4-хлорфенил)тетраазапорфирин (1). Смесь 0.06 г (0.20 ммоль) ди-(4-хлорфенил)малеиндинитрила и 0.04 г (0.281 ммоль) ацетата магния растворяли в 3 мл этиленгликоля. Смесь кипятили в течение 30 мин, затем охлаждали, добавляли диметилформамид и воду. Образовавшийся осадок отфильтровывали, промывали водой, сущили, переосаждали из смеси хлороформ-гексан (1:5) и хроматографировали на оксиде алюминия сначала дихлорметаном, затем смесью хлороформ-метанол (10:1). Выход 0.021 г (0.0172 ммоль, 34%). ИК спектр, v, см⁻¹: 2922, 2852, 1634, 1593 (C-H); 1013, 985 [δ(C-H)]; 769 $[\gamma(C-H)]$. Спектр ЯМР 1 Н (ДМСО- d_{6}), δ , м. д.: 7.39 уш. с (16H, H^M), 7.95 уш. с (16H, H^O). Масс-спектр, m/z ($I_{\text{отн}}$, %): 1223.26 (92) [M + 2H] $^+$ (вычислено для C₆₄H₃₂Cl₈MgN₈: 1221.04).

Мg(II)-Окта-(4-фторфенил)тетрааза- порфирин (2) получали аналогично из 0.06 г (0.225 ммоль) ди-(4-фторфенил)малеиндинитрила и 0.044 г (0.315 ммоль) ацетата магния; время реакции – 25 мин. Выход 0.022 г (0.0202 ммоль, 36%). ИК спектр, v, см⁻¹: 2925, 2855, 1604, 1566 (С–Н); 1017, 985 [δ (С–Н)]; 769 [γ (С–Н)]. Спектр ЯМР ¹Н (ДМСО- d_6), δ , м. д.: 7.49 уш. с (16H, H^{μ}), 7.96 уш. с (16H, H o). Масс-спектр, m/z ($I_{\rm OTH}$, %): 1090.19 (98) [M + H]⁺ (вычислено для C_{64} Н₃₂ F_8 MgN₈: 1089.40).

Zn(II)-Окта(4-хлорфенил)тетраазапорфирин (3) получали аналогично из 0.06 г (0.20 ммоль) ди-(4-хлорфенил)малеиндинитрила и 0.037 г (0.20 ммоль) ацетата цинка; время реакции — 10 мин. Выход 0.025 г (0.0198 ммоль, 40%). ИК спектр, \mathbf{v} , см $^{-1}$: 2926, 2853, 1634, 1594 (C—H); 1012, 981 [δ (C—H)]; 772 [γ (C—H)]. Спектр ЯМР 1 Н (ДМ-СО- d_{6}), δ , м. д.: 7.35 уш. с (16H, H^{u}), 8.10 уш. с (16H, H^{o}). Масс-спектр, m/z ($I_{\text{отн}}$, %): 1263.49 (97) [M+2H] $^{+}$ (вычислено для $C_{64}H_{32}Cl_{8}N_{8}Zn$: 1262.11).

Zn(II)-Окта(4-фторфенил)тетраазапорфирин (4) получали аналогично из 0.06 г (0.225 ммоль) ди-(4-фторфенил)малеиндинитрила и 0.041 г (0.225 ммоль) $Zn(OAc)_2$; врнмя реакции – 5 мин. Выход 0.026 г (0.0230 ммоль, 40%). ИК

ЖУРНАЛ ОБЩЕЙ ХИМИИ том 93 № 6 2023

спектр, v, см $^{-1}$: 2923, 2853, 1604, 1567 (С–Н); 1018, 9816 [δ (С–Н)]; 771 [γ (С–Н)]. Спектр ЯМР 1 Н (ДМСО- d_{6}), δ , м. д.: 7.50 уш. с (16H, H $^{\prime\prime}$), 8.19 уш. с (16H, H $^{\prime\prime}$). Масс-спектр, m/z ($I_{\rm отн}$, %): 1130.18 (98) [M] $^{+}$ (вычислено для С $_{64}$ Н $_{32}$ F $_{8}$ N $_{8}$ Zn: 1130.47).

Zn(II)-Октафенилтетраазапорфирин (5) получали аналогично из 0.06 г (0.26 ммоль) дифенилмалеиннитрила и 0.047 г (0.26 ммоль) ацетата цинка; время реакции – 5 мин. Выход 0.026 г (0.0264 ммоль, 41%). ИК спектр, v, см $^{-1}$: 2926, 2853, 1634, 1593 (С $^{-}$ H); 1001, 980 [$^{\circ}$ (С $^{-}$ H)]; 747 [$^{\circ}$ (С $^{-}$ H)]. Спектр ЯМР 1 H (ДМСО- $^{\circ}$ H), $^{\circ}$ 0, м. д.: 7.64 $^{-}$ 7.54 м (24H, $^{+}$ M, $^{+}$ M, 8.24 уш. с (16H, $^{+}$ M). Массспектр, $^{+}$ M/2 ($^{+}$ M): 988.11 (97) [$^{+}$ M + 2H] $^{+}$ (вычислено для $^{+}$ C₆₄H₄₀N₈Zn: 986.55).

Си(II)-Окта-(4-хлорфенил)тетраазапорфирин (6). Смесь 0.02 г (0.0164 ммоль) комплекса **1** и 0.022 г (0.164 ммоль) СиСl₂ в 25 мл ДМФА нагревали при 80° С в течение 1 ч, затем охлаждали. Выпавший осадок отфильтровывали, промывали водой, сушили, переосаждали из смеси хлороформ—гексан (1:5). Выход 0.018 г (0.0143 ммоль, 87%). Масс-спектр, m/z ($I_{\rm отн}$, %): 1260.76 (97) [M+H]+ (вычислено для $C_{64}H_{32}$ Cl₈CuN₈: 1260.29).

Си(II)-Окта-(4-фторфенил)тетраазапорфирин (7) получали аналогично из 0.02 г (0.0184 ммоль) комплекса **2** и 0.0247 г (0.184 ммоль) СиС l_2 ; время реакции — 30 мин. Выход 0.019 г (0.0168 ммоль, 89%). Масс-спектр, m/z ($I_{\rm отн}$, %): 1129.33 (78) [M + H] $^+$ (вычислено для $C_{64}H_{32}F_8CuN_8$: 1128.65).

Мп(III)-Окта-(4-хлорфенил)тетраазапорфирин (8) Смесь 0.02 г (0.0164 ммоль) комплекса **1** и 0.041 г (0.328 ммоль) МпСl₂ в 25 мл ДМФА кипятили в течение 1 мин, затем охлаждали и хроматографировали на силикагеле сначала дихлорметаном, затем хлороформом. Выход 0.016 г (0.0124 ммоль, 77%). ЭСП (CHCl₃), λ , нм (lge): 671 (4.66), 616 пл, 487 (4.46), 413 (4.59), 351 (4.57). Масс-спектр, m/z ($I_{\text{отн}}$, %): 1250.21 (67) [M — Cl]⁺ (вычислено для $C_{64}H_{32}Cl_8MnN_8$: 1251.68).

М п (I I I) - О к т а - (4 - ф т о р ф е н и л) т е - траазапорфирин (9). Смесь 0.02 г (0.0184 ммоль) комплекса 2 и 0.046 г (0.368 ммоль) хлорида марганца в 25 мл ДМФА нагревали до температуры кипения, затем охлаждали и хроматогра-

фировали на силикагеле сначала дихлорметаном,

затем хлороформом. Выход 0.017 г (0.0147 ммоль, 83%). ЭСП (CHCl₃), λ , нм (lg ϵ): 668 (4.67), 614 пл, 483 (4.41), 412 (4.51), 351 (4.54). Массспектр, m/z ($I_{\rm отн}$, %): 1119.34 (89) [M – Cl] $^+$ (вычислено для $C_{64}H_{32}F_8MnN_8$: 1120.04).

ИНФОРМАЦИЯ ОБ АВТОРАХ

Чижова Наталья Васильевна, ORCID: http://orcid.org/0000-0001-5387-5933

Лихонина Анастасия Евгеньевна, ORCID: http://orcid.org/0000-0003-2389-6826

Мамардашвили Нугзар Жораевич, ORCID: http://orcid.org/0000-0001-9778-5227

ФИНАНСОВАЯ ПОДДЕРЖКА

Работа выполнена в рамках государственного задания Министерства науки и высшего образования РФ (тема № 122040500043-7) с привлечением оборудования Верхневолжского регионального центра физико-химических исследований.

КОНФЛИКТ ИНТЕРЕСОВ

Авторы заявляют об отсутствии конфликта интересов.

ДОПОЛНИТЕЛЬНЫЕ МАТЕРИАЛЫ

Дополнительные материалы для этой статьи доступны по doi 10.31857/S0044460X2306015X для авторизованных пользователей.

СПИСОК ЛИТЕРАТУРЫ

- 1. *Bajju G.D.*, *Singh N.*, *Deepmala //* Chem. Sci. Trans. 2014. Vol. 3. N 1. P. 314. doi 10.7598/cst2014.583
- Katoh K., Yoshida Y., Yamashita M., Miyasaka H., Breedlove B.K., Kajiwara T., Takaishi S., Ishikawa N., Isshiki H., Zhang Y.F., Komeda T., Yamagishi M., Takeya J. // J. Am. Chem. Soc. 2009. Vol. 131. N 29. P. 9967. doi 10.1021/ja902349t
- Chen L., Zhang Z., Wang Y., Guan, Y., Deng K., Lv K., Sun J., Li Z., Li M. // J. Mol. Catal. 2013. Vol. 372. P. 114. doi 10.1016/j.molcata.2013.02.013
- Goslinski T., Tykarska E., Kryjewski M., Osmalek T., Sobiak S., Gdanies M., Dutkiewicz Z., Mielcarek J. // Anal Sci. 2011. Vol. 27. N 5. P. 511. doi 10.2116/ analsci.27.511.

- 5. Лермонтова С.А., Григорьев И.С., Шилягина Н.Ю., Пескова Н.Н., Балалаева И.В., Ширманова М.В., Клапшина Л.Г. // ЖОХ. 2016. Т. 86. Вып. 6. С. 1000; Lermontova S.A., Grigoryev I.S., Shilyagina N.Y., Peskova N.N., Balalaeva I.V., Shirmanova M.V., Klapshina L.G. // Russ J Gen. Chem. 2016. Vol 86. N 6. P. 1330. doi 10.1134/S1070363216060189
- 6. Порфирины: спектроскопия, электрохимия, применение / Под ред. Н.С. Ениколопяна. М.: Наука, 1987, 384 с.
- 7. Chino M., Leone L., Zambrano G., Pirro F., D'Alonzo D., Firpo V., Aref D., Lista L., Maglio O., Nastri F., Lombardi A. // Biopolymers. 2018. Vol. 109. P. 23107. doi 10.1002/bip.23107
- Lieb D., Zahl A., Shubina T.E., Ivanović-Burmazović I. //
 J. Am. Chem. Soc. 2010. Vol. 132. N 21. P. 7282. doi
 10.1021/ja1014585
- 9. Budimir A., Kalmár J., Fábián I., Lente G., Bányai I., Batinić-Haberle I., Biruš M. // Dalton Trans. 2010. Vol. 39. P. 4405. doi 10.1039/b926522h
- 10. Cook A.H., Linstead R.P. // J. Chem. Soc. 1937. P. 929.

- Stuzhin P.A., Ivanova S.S., Koifman O.I., Petrov O.A., Nazarova A. // Inorg. Chem. Commun. 2014. Vol. 49. P. 72. doi 10.1016/j.inoche.2014.09.002
- 12. Stuzhin P.A., Goryachev M.Y., Ivanova S.S., Nazarova A., Pimkov I., Koifman O.I. // J. Porph. Phthalocyan. 2013. Vol. 17. P. 905. doi 10.1142/S1088424613500892
- Lebedeva I.A. (Yablokova), Ivanova S.S., Novakova V., Zhabanov Yu.A., Stuzin P.A. // J. Fluorine Chem. 2018.
 Vol. 214. P. 86. doi 10.1016/j.jfluchem.2018.08.006
- 14. Чижова Н.В., Иванова Ю.Б., Русанов А.И., Хрушкова Ю.В., Мамардашвили Н.Ж. // ЖОрХ. 2019. Т. 55. № 5. С. 754; Chizhova N.V., Ivanova Yu.B., Rusanov A.I., Khrushkova Yu.V., Mamardashvili N.Z. // Russ J. Org. Chem. 2019. Vol. 55. N 5. P. 655. doi 10.1134/S1070428019050129
- Dmitrieva O.A., Chizhova N.V., Rusanov A.I., Koifman M.O., Mamardashvili N.Z. // J. Fluoresc. 2020. Vol. 30. P. 657. doi 10.1007/s10895-020-02530-1
- Rusanov A.I., Chizhova N.V., Mamardashvili N.Z. // Molecules. 2022. Vol. 27. N 23. P. 8619. doi 10.3390/ molecules27238619

Synthesis and Properties of Metal Complexes with Halogen-Substituted Octaphenyltetraazaporphyrins

N. V. Chizhova^{a,*}, A. E. Likhonina^a, and N. Z. Mamardashvili^a

^a G.A. Krestov Institute of Solutions Chemistry, Russian Academy of Sciences, Ivanovo, 153040 Russia *e-mail: nvc@isc-ras.ru

Received April 7, 2023; revised May 10, 2023; accepted May 21, 2023

Mg(II)-octa-(4-chlorophenyl)tetraazaporphyrin, Mg(II)-octa-(4-fluorophenyl)tetraazaporphyrin, Zn(II)-octa-(4-chlorophenyl)tetraazaporphyrin and Zn(II)-octa-(4-fluorophenyl)tetraazaporphyrin were synthesized by cyclization of di-(4-halophenyl)maleinonitriles with magnesium and zinc(II) acetates in refluxing ethylene glycol. Zn(II)-Octaphenyltetraazaporphyrin was obtained by cyclization of diphenylmaleininitrile with zinc acetate in ethylene glycol. Using the metal exchange reaction of halogen-substituted magnesium complexes with copper(II) and manganese(II) chlorides in dimethylformamide, the corresponding Cu(II) and Mn(III)-octaphenyltetraazaporphyrins were synthesized. Structure of the obtained compounds were identified by UV-Vis, IR, ¹H NMR spectroscopy and mass spectrometry methods. The photochemical stability of the synthesized complexes was studied.

Keywords: complexes with octa-(4-halophenyl)tetraazaporphyrins, cyclomerization reactions, metal exchange reactions, photochemical stability